

ごみ焼却プラントの操作因子に関する解析

京都大学工学部 岩井重久 平岡正勝 高内政彦 高月鉄

1. 緒言

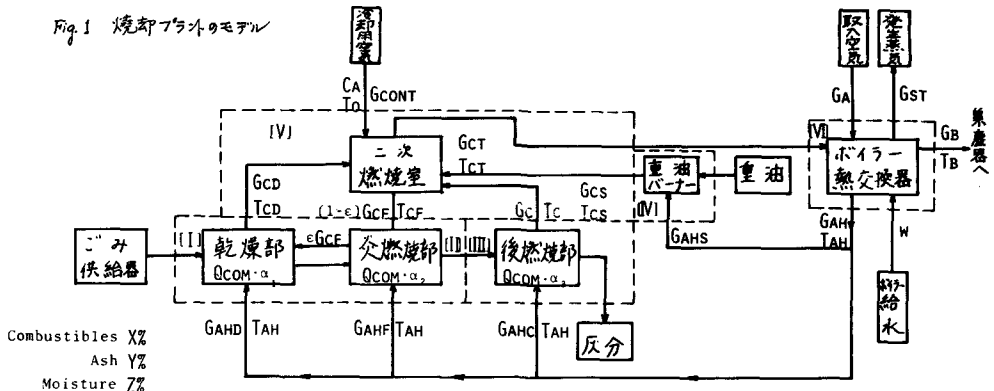
我が国の連續式ごみ焼却炉の歴史は長いにもかかわらず、外国技術の導入、国産技術の開発が活発に行なわれ、今後数年にかけて大型焼却プラントの建設は目覚ましく、その技術は急速に進歩していく。しかしながら、ごみ焼却プラントは燃焼工学的、機械工学的因素が複雑に組合せられたプラントであるので、その解析的研究は極めて困難である。

本研究においては、速度論的考察の前提として、まずエンタルピー収支の観点から大型ごみ焼却プラントを解析して自燃限界の概念を明らかにし、こうした種々の因子が操作運転における影響を理論的に明るかにすることを試みた。

2. 焼却プラントのモデル化

ごみ焼却プラントは主としてストーカー構造の相違による種々の形式のものが使用されているが、Fig. 1 のようにモデル化して考えることができる。すなはち、焼却炉を(Ⅰ)乾燥ストーカー、(Ⅱ)炎燃焼ストーカー、(Ⅲ)後燃焼ストーカーの三部分に分け、それぞれに乾燥用、燃焼用空気が吹き込まれ、さらに各ストーカーからのガスが(Ⅳ)二次燃焼室で完全燃焼して、(Ⅴ)ボイラーおよび熱交換室の部分で余熱回収され、集塵室で経て放出される。プラントの運転操作において最も重要なのは、ごみ質の変動に応じて炉温と最適範囲と言われている $800 \sim 900^{\circ}\text{C}$ に維持することである。これは、ごみの組成は可燃分 $\alpha\%$ 、灰分 $\gamma\%$ 、水分 $\beta\%$ で、可燃分当りの発熱量は 4600 kcal/kg 一定であり、ごみ全体の発熱量は $\alpha + \gamma - \beta$ の割合によって変化するものと考えた。そして炉温の制御は設定値よりも低い場合は補助燃料として重油を燃焼させ、高い場合は冷風を送入することによって行なうとした。計算に際しては京都市に於けるごみ質の変動を参考にし、京都市における昭和42～43年に於けるごみ性状の年間変動率は Table 1 に示すようなものであり、低位発熱量の頻度分布は Fig. 2 9 ようになり、その年間変動率は Fig. 3 のようである。

Fig. 1 焼却プラントのモデル



3. 物質収支について

ごみ焼却アラントの熱収支をとるにあたり、まずFig. 1 に示したモデルの各部に対する物質収支をとる必要がある。物質収支の計算に必要な理論空気量和及び理論燃焼ガス量は Rosin の式によつて計算することとした。さらに物質収支計算に必要な諸元を列挙するとつきのようになる。

処理量 300 t/day , $F_i = 12,500 [\text{kg/m}^3]$

取入空気状態 温度 $t_a = 20^\circ\text{C}$,

湿度 $\gamma_a = 70\%$, $H_a = 0.01 (\text{kg-H}_2\text{O}/\text{kg-dry air})$, 比熱 $C_a = (0.24 + 0.46H_a)/(0.772 + 1.24H_a) = 0.31 [\text{kcal}/\text{Nm}^3]$
ごみの性状

	供給量 [kg/m]	比熱 [kcal/kg°C]
可燃分 x (%)	$125x$	$C_x = 0.6$ (木)
灰分 y (%)	$125y$	$C_y = 0.2$ (灰)
水分 z (%)	$125z$	$C_z = 1.0$ (水)

燃焼用、乾燥用予熱空気およびその排ガス

(取入空気量 G_a) = (予熱空気量 G_{ah}) = (重油燃焼用 G_{ahs}) + (乾燥用 G_{ahd}) + (炎燃焼用 G_{ahf}) + (後燃焼用 G_{ahc})

Table 1. 京都市におけるごみ性状の年間変動率(昭和42年度)

Moisture Z [o/o]	Combustibles x [o/o]	Ash y [o/o]	Lower Calorific Value [kcal/kg]	Frequency [-]	Days [day]
60	18	22	457	.05	18
55	22.5	22.5	679	.10	36
50	25	25	813	.20	73
45	30	25	1017	.34	124
40	33	27	1214	.18	66
35	40	25	1544	.07	26
30	44	26	1745	.03	11
-	-	-	-	.97	354

可燃分の平均組成

重量 (%)	kg/m	燃焼 (= 燃え生ずる量) [kg/m]
炭素 49	$0.49 \times 125x = 61.25x$	$49/2 \times 61.25x = 224.5x$
水素 6	$0.06 \times 125x = 7.50x$	$18/2 \times 7.50x = 67.5x$

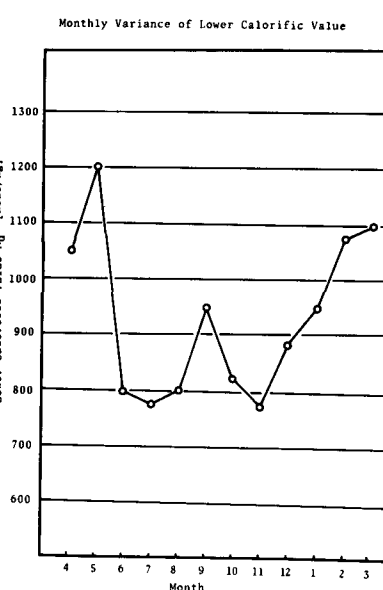


Fig. 3 京都市における低位発熱量の年間変動率
(昭和42年度)

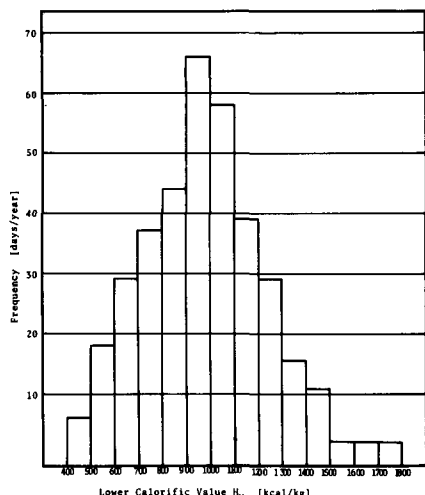


Fig. 2 京都市における低位発熱量の頻度分布

$$(全排出ガス G_{\text{tot}}) = (\text{重油燃焼ガス } G_{\text{cs}}) + (\text{乾燥出口ガス } G_{\text{cd}}) + (\text{炎燃焼ガス } G_{\text{cf}}) + (\text{後燃焼ガス } G_{\text{c}})$$

重油燃焼 B重油 (炭素 86.2%, 水分 12%) , 焚熱量 $H_{\text{cs}} = 10,630 \text{ kcal/kg}$

$$\text{燃焼による生成水分 } W_5 = \frac{12}{100} \cdot S \cdot \frac{18}{2} = 1.08S \quad [\text{kg-H}_2\text{O}/\text{hr}]$$

$$\text{理論空気量 } L_{\text{so}} = (0.85 \times H_{\text{cs}} / 1000 + 2.0) \cdot S = 11.04S \quad [Nm^3/\text{hr}]$$

$$\text{理論燃焼ガス量 } G_{\text{so}} = (111 \times H_{\text{cs}} / 1000) \times S = 11.8S \quad [Nm^3/\text{hr}]$$

$$\text{実際燃焼ガス量 } G_{\text{cs}} = G_{\text{so}} + (m_s - 1) \times L_{\text{so}} \quad [Nm^3/\text{hr}]$$

$$\text{予熱空気量 } G_{\text{ahs}} = m_s \cdot L_{\text{so}} = 11.04 m_s \cdot S \quad [Nm^3/\text{hr}]$$

$$\text{排出ガス量 } G_{\text{cs}} = G_{\text{so}} + (m_s - 1) \cdot L_{\text{so}} \quad [Nm^3/\text{hr}]$$

$$\text{絶対湿度 } H_{\text{cs}} = W_5 / G_{\text{cs}} \times P_{\text{cs}} + H_a \quad [kg-H_2O/kg-dry gas]$$

$$\text{密度 } \rho_{\text{cs}} = (290 + 1.5 \cdot K_{\text{co}_2}) / 22.4 \quad [kg-dry gas/Nm^3]$$

$$\text{温り比熱 } C_{\text{cs}} = 0.269 + 0.00018 \cdot K_{\text{co}_2} + 0.536 H_{\text{cs}} \quad [kcal/Nm^3 \cdot ^\circ C]$$

ここで S : 重油助燃料 [kg/hr], m_s : 重油助燃料に対する空気過剰率 [-], K_{co_2} : 二酸化炭素含有率 [%]

1) 乾燥ストーカーにおける物質収支

乾燥ストーカー出口ガス中の全水分はごく乾燥による蒸発水分量 $125(2-2')$, 部分燃焼による発生水分量 $67.5x_1$, 炎燃焼ストーカーからの対流による水分 $\epsilon \cdot W_f$ の和である。

$$\text{全水分量 } W_2 = 125(2-2') + 67.5x_1 + \epsilon \cdot W_f$$

ここで ϵ は炎燃焼部から乾燥部への燃焼ガスの対流割合であり, W_f は炎燃焼部における全発生水分量である。また燃焼によって発生する水分量は燃焼率 x_1 に比例するととしているが、後燃焼ストーカーにおいては、燃焼による発生水分は零とし、炎燃焼における発生水分は $67.5(1-x_1)$ とする。つぎに乾燥部における乾燥用予熱空気量 G_{ahd} はごく単位重量当たりの供給予熱量を η_d とすると

$$G_{\text{ahd}} = V_g \cdot F_r \quad [Nm^3/\text{hr}]$$

となる。Rosin の式によるとごくの理論燃焼用空気量 L_{ro} および理論燃焼ガス量 G_{ro} は次式で求められる

$$L_{\text{ro}} = (1.01 \cdot H_u / 1000 + 0.5) \cdot 125x \quad [Nm^3/\text{hr}]$$

$$G_{\text{ro}} = (0.89 \cdot H_u / 1000 + 1.65) \cdot 125x \quad [Nm^3/\text{hr}]$$

となる。したがって、乾燥ストーカー出口ガス量 G_{cd} は、 G_{cf} を炎燃焼ストーカーの出口ガス量とする

$$G_{\text{cd}} = G_{\text{ahd}} + (G_{\text{ro}} - L_{\text{ro}}) \cdot x_1 + \epsilon \cdot G_{\text{cf}} \quad [Nm^3/\text{hr}]$$

となる。また乾燥部出口ガスの密度は空気のそれと同一であるとすると、 $\rho_{\text{cd}} = 1.295 \text{ (kg/Nm}^3)$ となる。したがって、この排ガスの湿度 H_{cd} および温り比熱 C_{cd} はそれと並ぶ

$$H_{\text{cd}} = W_2 / (\rho_{\text{cd}} \cdot G_{\text{cd}})$$

$$C_{\text{cd}} = (0.24 + 0.46 H_{\text{cd}}) / (0.77 + 1.24 \cdot H_{\text{cd}})$$

2) 炎燃焼ストーカーにおける物質収支

炎燃焼ストーカーにおいて、残留水分 $2'$ は完全に蒸発し、燃焼による水分もこの段階においてすべて生成するものとし、入口空気の持込んだ水分は無視すると、1) と同様にして

$$\text{全発生水分量 } W_f = 125(2' + 67.5x(1-x_1))$$

$$\text{燃焼出口ガス量 } G_{\text{cf}} = \{ G_{\text{ro}} + (m_s - 1) \cdot L_{\text{ro}} \} x_2$$

$$\text{炎燃焼出口ガス密度 } \rho_f = (29.0 + 15K_{CO_2}) / 22.4$$

$$\text{“ “ “ 絶対湿度 } H_f = w_f / G_{cf} \cdot \rho_f$$

$$\text{“ “ “ 湿り比熱 } C_f = 0.269 + 0.00018 \cdot K_{CO_2} + 0.536 H_f$$

$$\text{燃焼用予熱空気量 } G_{ah} = (m \cdot L_{R0}) \cdot \alpha_2$$

ここで、 m : 燃焼用空気過剰率、 α_2 : 炎燃焼部における燃焼率、

3) 後燃焼用ストーカーにおける物質収支

ここで²は出口ガス中に含まれる水分は後燃焼用予熱空気 G_{ahc} に含まれる水分の²であるとする。

すると、

$$\text{予熱空気量 } G_{ahc} = m \cdot L_{R0} \cdot \alpha_3$$

$$\text{出口ガス量 } G_c = \{G_{R0} + (m-1) \cdot L_{R0}\} \cdot \alpha_3$$

$$\text{絶対湿度 } H_e \div H_{ahc} = 0.01$$

$$\text{密度 } \rho_c = (29.0 + 1.5 \cdot K_{CO_2}) / 22.4$$

$$\text{湿り比熱 } C_c = 0.264 + 0.00018 K_{CO_2}$$

ここで、 α_3 : 後燃焼における燃焼率 ($\alpha_1 + \alpha_2 + \alpha_3 = 1$)

4) 二次燃焼室における物質収支

$$\text{排出ガス中の全水分 } W_{et} = 125Z + 67.5x + w_g + G_a \cdot \frac{29}{22.4} \cdot H_a$$

(乾燥) (2) (重油) (空気)

$$\text{排ガス量 } G_{et} = G_{ed} + (1-\varepsilon) G_{cf} + G_c + G_{as}$$

$$\text{密度 } C_{et} = (29.0 + 1.5 K_{CO_2}) / 22.4$$

$$\text{絶対湿度 } H_{et} = W_{et} / \rho_{et} \cdot G_{et}$$

$$\text{湿り比熱 } C_{et} = 0.269 + 0.00018 K_{CO_2} + 0.536 H_{et}$$

5) 热交換器・ボイラード

排ガスに含まれる水分の凝縮は起らさないとする。

$$\text{予熱空気量 } G_{ah} = G_a$$

$$\text{熱交換器・ボイラード出口ガス量 } G_b = G_{et}$$

$$\text{蒸気発生量 } G_{st} = W$$

4. 热収支について

1) 乾燥ストーカーにおけるエンタルピー収支

(入熱)

$$\text{ごみの挿込むエンタルピー } E_1 = 125x C_x(t_i - t_o) + 125y C_y(t_i - t_o) + 125z C_z(t_i - t_o)$$

$$\text{予熱空気の挿込むエンタルピー } G_{ah} \cdot C_{ah} (t_{ah} - t_o)$$

$$\text{部分燃焼による発熱量 } 5.75 \times 10^5 x \cdot \alpha_1 = Q_{reac} \cdot \alpha_1$$

$$\text{炎燃焼の対流によるエンタルピー } (\text{出熱}) \quad \varepsilon \cdot G_{cf} \cdot G_{cf} (t_{cf} - t_o)$$

$$\text{乾燥ごみの挿出すエンタルピー } E_2 = 125x (1-\alpha_1) C_x(t_2 - t_o) + 125y C_y(t_2 - t_o) + 125z C_z(t_2 - t_o)$$

$$= 125(t_2 - t_0) \{ (1-\alpha_1)x C_x + y C_y + z' C_z \}$$

排ガスの持出すエンタルピー $= G_{cd} \cdot C_{cd} (t_{cd} - t_0)$

熱損失 $\quad Q_{e1} = Q_e/3$

(入熱) = (出熱)

$$E_1 + G_{ahd} \cdot C_{ahd} (t_{ahd} - t_0) + Q_{reac} \cdot \alpha_1 + E_1 \cdot G_{cf} \cdot C_{cf} (t_{cf} - t_0)$$

$$= E_2 + G_{cd} \cdot C_{cd} (t_{cd} - t_0) + Q_{e1}$$

∴ 2°、熱損失はごみの発熱量の $\frac{1}{100}$ % であり、各 Q_{e1} , Q_{e2} , Q_{e3} はそれをおよそとすると、
 $Q_e = Q_{e1} + Q_{e2} + Q_{e3} = \frac{1}{100} \cdot Q_{reac}$, $Q_{e1} = Q_{e2} = Q_{e3} = Q_e/3$

2) 炎焼焼ストーカーにおける收支

(入熱)

乾燥ごみの持込むエンタルピー $E_2 = 125(t_2 - 20) \{ (1-\alpha_1)x \cdot C_x + y \cdot C_y + z' \cdot C_z \}$

予熱空気の持込むエンタルピー $G_{ahf} \cdot C_{ahf} (t_{ahf} - t_0)$

炎焼焼による発熱量 $Q_{reac} \cdot \alpha_2$

(出熱)

出口固体物の持出すエンタルピー $E_3 = 125(t_3 - t_0) \{ \alpha_3 \cdot x \cdot C_x + y \cdot C_y \}$

排ガスの持出すエンタルピー $G_{cf} \cdot C_{cf} (t_{cf} - t_0)$

熱損失 $Q_{e2} = Q_e/3$

(入熱) = (出熱)

$$E_2 + G_{ahf} \cdot C_{ahf} (t_{ahf} - t_0) + Q_{reac} \cdot \alpha_2 = E_3 + G_{cf} \cdot C_{cf} (t_{cf} - t_0) + Q_{e2}$$

3) 後燃焼ストーカーにおけるバランス

(入熱)

固体物の持込むエンタルピー $E_3 = 125(t_3 - t_0) \{ \alpha_3 \cdot x \cdot C_x + y \cdot C_y \}$

予熱空気の持込むエンタルピー $G_{ahc} \cdot C_{ahc} (t_{ahc} - t_0)$

後燃焼による発熱量 $Q_{reac} \cdot \alpha_3$

(出熱)

圧縮の持出すエンタルピー $E_f = 125y \cdot C_y (t_f - t_0)$

排ガスの持出すエンタルピー $G_c \cdot C_c (t_c - t_0)$

熱損失 $Q_{e3} = Q_e/3$

(入熱 = 出熱)

$$E_3 + G_{ahc} \cdot C_{ahc} (t_{ahc} - t_0) + Q_{reac} \cdot \alpha_3 = E_f + G_c \cdot C_c (t_c - t_0) + Q_{e3}$$

4) 重油助燃部の收支

(入熱)

重油の持込むエンタルピー $S \cdot C_s (t_s - t_0)$

予熱空気の持込むエンタルピー $G_{ahs} \cdot C_{ahs} (t_{ahs} - t_0)$

重油助燃による発熱量 $H_{es} - S$

(出熱)

$$\text{排ガスの持出すエンタルピー} = G_{\text{gas}} \cdot C_{\text{gas}} (t_{\text{gas}} - t_0)$$

(入熱) = (出熱)

$$S \cdot C_s (t_s - t_0) + G_{\text{ahs}} \cdot C_{\text{ahs}} (t_{\text{ahs}} - t_0) + H_{\text{es}} \cdot S = G_{\text{gas}} \cdot C_{\text{gas}} (t_{\text{gas}} - t_0)$$

5) ボイラ・熱交換器における收支

(入熱)

$$\text{全排出ガスの持込みエンタルピー} = G_{\text{st}} \cdot C_{\text{st}} (t_{\text{st}} - t_0)$$

$$\text{取入空気の持込みエンタルピー} = G_a \cdot C_a (t_a - t_0)$$

$$\text{ボイラー用水の持込みエンタルピー} = W \cdot C_w (t_w - t_0)$$

(出熱)

$$\text{全排出ガスの持出すエンタルピー} = G_b \cdot C_b (t_b - t_0)$$

$$\text{予熱空気の持出すエンタルピー} = G_{\text{ah}} \cdot C_{\text{ah}} (t_{\text{ah}} - t_0)$$

$$16 \text{ kg/cm}^2 \text{ 43°C (200.43°C)} \text{ の飽和蒸気}$$

$$667.1 \text{ G}_{\text{st}}$$

9持出すエンタルピー

(入熱) = (出熱)

$$G_{\text{st}} \cdot C_{\text{st}} (t_{\text{st}} - t_0) + G_a \cdot C_a (t_a - t_0) + W \cdot C_w (t_w - t_0) = G_b \cdot C_b (t_b - t_0) + G_{\text{ah}} \cdot C_{\text{ah}} (t_{\text{ah}} - t_0)$$

5. 計算の手順

1) ~ 4) までの物質收支、エンタルピー收支をもとに水火条件に入れて順次計算し、各排出ガスの混合による全排出ガスの t_{st} , C_{st} , G_{st} の決定を行なう。ここで全排出ガスの温度は最初に仮定しているため、定められた t_{st} に達しない場合は、重油助燃料 S を増して所定の t_{st} に保つものとし、また逆に高すぎた場合には冷却用空気量を増して制御を行なうものとする。したがって理論計算においては各収支からまず助燃重油量 S の符号より判定し、マイナスの場合には制御用空気量 G_{cont} を次式により求めよ。

$$G_{\text{cont}} = |S| \times H_{\text{es}} / C_a (t_{\text{st}} - t_0)$$

全排出ガスの状態の収支はつきのようになる。

(入熱)

$$\text{乾燥ストーカー排ガスの保有エンタルピー} = G_{\text{cd}} \cdot C_{\text{cd}} (t_{\text{cd}} - t_0)$$

$$\text{炎燃焼ストーカー排ガスの保有エンタルピー} = (1-\varepsilon) \cdot G_{\text{cf}} \cdot C_{\text{cf}} (t_{\text{cf}} - t_0)$$

$$\text{後燃焼排ガスの保有エンタルピー} = G_c \cdot C_c (t_c - t_0)$$

$$\text{重油助燃排ガスの保有エンタルピー} = G_{\text{es}} \cdot C_{\text{es}} (t_{\text{es}} - t_0)$$

(出熱)

$$\text{全混合ガスの持出すエンタルピー} = G_{\text{st}} \cdot C_{\text{st}} (t_{\text{st}} - t_0)$$

(入熱) = (出熱)

$$G_{\text{cd}} \cdot C_{\text{cd}} (t_{\text{cd}} - t_0) + (1-\varepsilon) G_{\text{cf}} \cdot C_{\text{cf}} (t_{\text{cf}} - t_0) + G_c \cdot C_c (t_c - t_0) + G_{\text{es}} \cdot C_{\text{es}} (t_{\text{es}} - t_0)$$

$$= G_{\text{st}} \cdot C_{\text{st}} (t_{\text{st}} - t_0)$$

極めて複雑な計算なので、京大電子計算機 KDC-II を用いて行なつた。用いた計算条件を Table 2 に、フローチャートを Fig. 4 に示す。

Table 2 計算条件

t_{ct} 800, 850, 900, 950, 1000

t_{ah} 200, 250 (20, 60, 100)

k 0.10

k_{co_2} 10

α_1 0.1

α_2 0.7

α_3 0.2

$$\begin{array}{l} \text{平} \\ \text{底} \\ \text{高} \end{array} \left\{ \begin{array}{l} x=25.91 \\ y=23.50 \\ z=50.59 \end{array} \right. \quad \left\{ \begin{array}{l} x=45.91 \\ y=25.00 \\ z=29.76 \end{array} \right.$$

E 0.2, 0.3, 0.4, 0.5, 0.6

χ' 20, 25, 30

m 1.5, 2.0, 2.5

m_s 1.3

V_g 0.4, 0.8, 1.2

6. 計算結果

計算結果の一部を Fig. 5～Fig. 11 に示す。Fig. 5～Fig. 7 は横軸に低位発熱量 H_u をとり、縦軸に重油消費量をとったもので、これら9つの図から自然限界を察することができる。図において $SS=0$ の線が自然限界を示す。たとえば、火温を最低 800°C に保ち、予熱空気温度を 250°C とした場合を Fig. 5 と示したが、これでは $m=2.0 \sim 2.5$ とし、 $V_g = 0.4 [\text{Nm}^3 \cdot \text{air/kg-refuse}]$ とすると、低位発熱量 H_u の範囲 $800 \sim 970 [\text{kcal/kg-refuse}]$ に自然限界が存在するが、空気過剰率

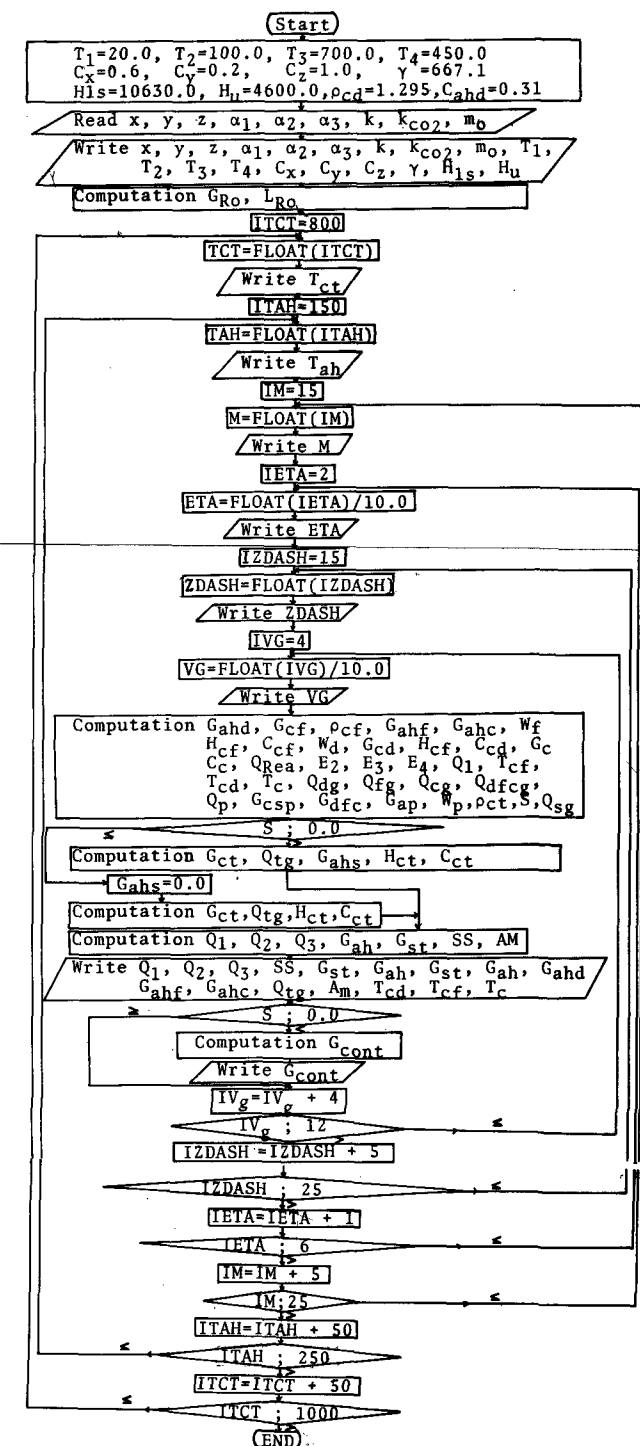


Fig. 4 計算のフローチャート

によってかなり変動することがわかる。この m は乾燥用空気を別個に考える「空気過剰率」なので、全件の空気過剰率は 0.6~0.7 程度大きい値となる。

Fig.8~Fig.11 は操作因子の影響を明らかにするために種々の条件における冷空気量および重油助燃料を示したもので、横軸に燃焼ガス温度、右縦軸は重油消費量、左縦軸は冷空気量である。これらの図から低位発熱量 H_u の値によって制御すべき冷空気量あるいは助燃重油量を推定することができ、焼却プラントの設計、あるいは現在の運転の解析に使用することができる。

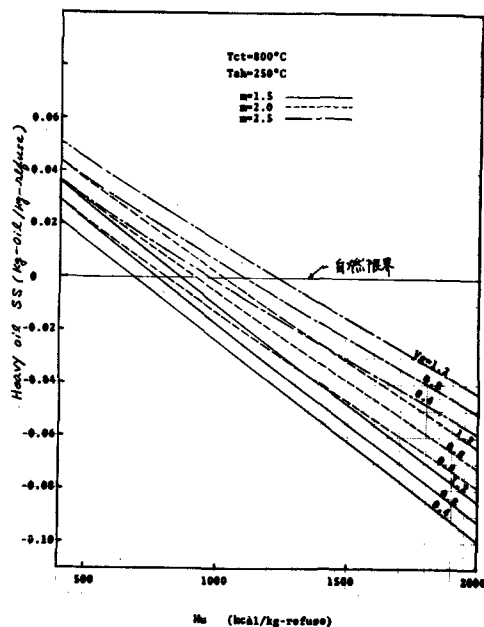


Fig.5 発熱量と助燃料との関係

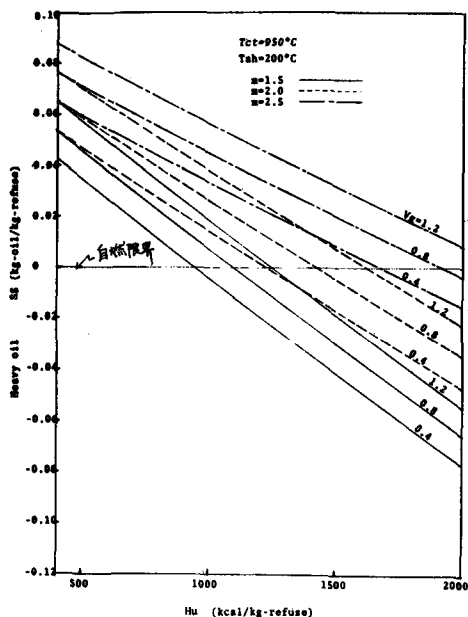


Fig.6 発熱量と助燃料との関係

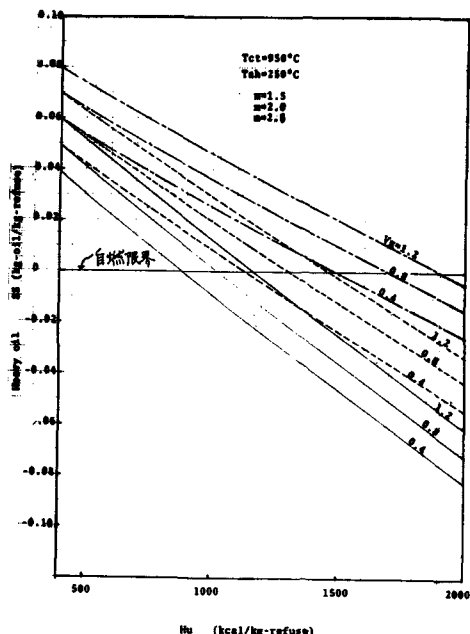


Fig.7 発熱量と助燃料との関係

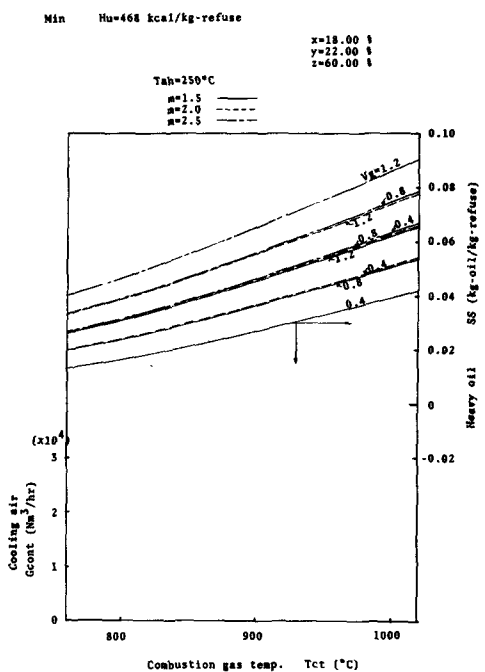


Fig. 8 撥依因子の関係

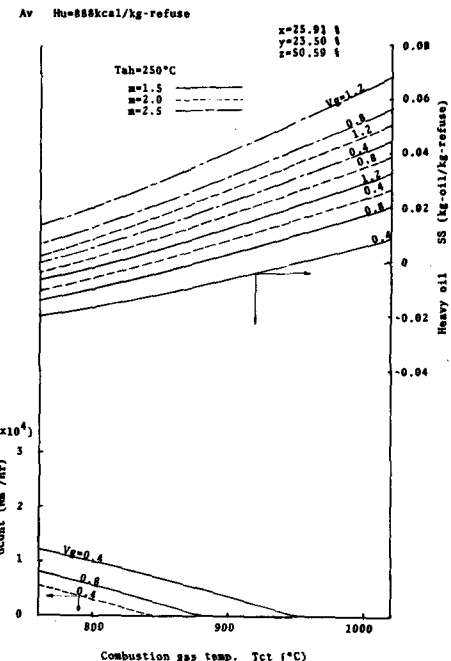


Fig. 9 撥依因子の関係

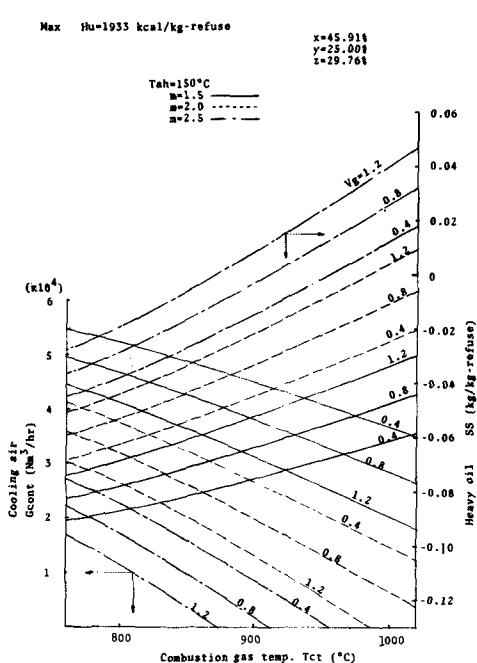


Fig. 10 撥依因子の関係

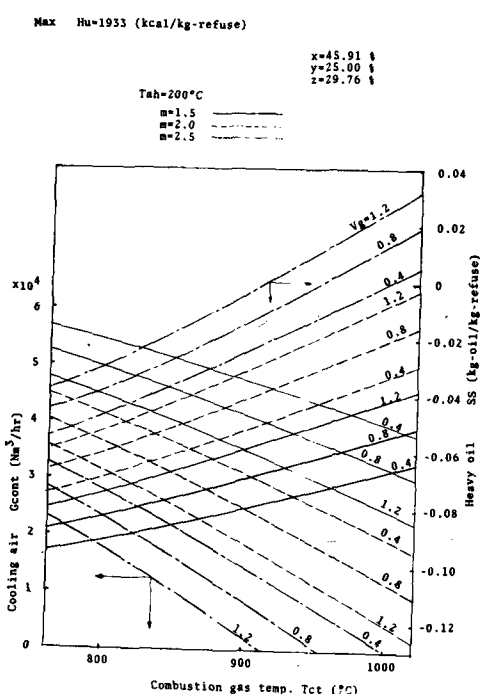


Fig. 11 撥依因子の関係